

# 02 lengkap 33-6-PB-42-50.pdf

*by* Yosafat Pranata

---

**Submission date:** 14-Jan-2025 04:51PM (UTC+0700)

**Submission ID:** 2563939464

**File name:** 02\_lengkap\_33-6-PB-42-50.pdf (615.62K)

**Word count:** 4441

**Character count:** 27008

## MODULUS PENAMPANG ELASTIK BALOK KAYU JABON GLULAM

### *Elastic Section Modulus of Glulam Jabon Timber Beams*

Yosafat Aji Pranata, Anang Kristianto, Aan Darmawan

Fakultas Teknik, Universitas Kristen Maranatha

Jalan Suria Sumantri 65 Bandung, 40164, Jawa Barat

Surel: yosafat.ap@gmail.com, anang.kristianto@gmail.com, valfa007@gmail.com

Diterima: 03 Desember 2019 ; Disetujui: 12 Maret 2020

#### Abstrak

Modulus penampang elastik balok merupakan salah satu parameter yang berkaitan dengan kekuatan dan kekakuan balok, secara khusus berhubungan dengan momen inersia penampang. Modulus penampang elastik balok kayu utuh (solid) tidak sama dengan balok kayu laminasi untuk studi kasus balok dengan ukuran penampang sama, hal ini dikarenakan momen inersia penampang balok laminasi perhitungannya berbeda dengan balok utuh akibat adanya slip antar lamina pada saat beban bekerja serta besarnya modulus elastisitas yang tidak sama pada setiap lamina, sehingga perilaku lentur balok menjadi satu kesatuan dalam kaitannya dengan kekuatan balok. Tujuan penelitian ini adalah mempelajari modulus penampang elastik balok kayu laminasi lem (glulam). Ruang lingkup penelitian yaitu benda uji balok terbuat dari kayu Jabon (*Anthocephalus cadamba* Miq.) ukuran penampang 60x160 mm, jumlah lamina 4 (empat), sistem laminasi menggunakan lem super adhesive, pengujian lentur menggunakan metode four-point loading test, perilaku lentur yang ditinjau adalah kekuatan lentur, modulus penampang elastik, dan rasio daktilitas balok. Hasil penelitian memperlihatkan bahwa modulus penampang elastik dan tegangan lentur balok kayu laminasi lem lebih rendah dibandingkan balok kayu utuh dengan rasio sebesar 0,54, serta rasio daktilitas balok kayu laminasi diperoleh sebesar 1,28 sehingga termasuk dalam kriteria daktilitas terbatas. Hasil pengujian mengindikasikan bahwa kegagalan balok kayu laminasi lem adalah berupa kegagalan lentur. Parameter modulus penampang elastik balok kayu laminasi berguna untuk desain komponen struktur balok pada bangunan khususnya pada perhitungan kekuatan balok dan kekakuan balok sebagai persyaratan serviceability.

**Kata Kunci:** Rigiditas lentur, balok, laminasi, lem, jabon

#### Abstract

The elastic cross-section modulus of the beam is one of the parameters related to the strength and stiffness of the beam, specifically related to the inertia moment of the cross-section. The elastic cross-section modulus of solid timber beam is not the same as laminated timber beam for the case study of beam with the same cross-section size, this is because the inertia moment of cross-section of the laminated beam calculation is different from the solid beam due to slippage between lamina when the load is working and the magnitude of the elastic modulus which is not the same in every lamina, so the flexural behavior of the beam becomes a single unit in relation to the strength of the beam. The purpose of this study was to study the elastic cross-section modulus of glue-laminated wood (glulam). The scope of the study is the beam test object made of Jabon wood (*Anthocephalus cadamba* Miq.) 60x160 mm cross-section size, 4 (four) lamina numbers, lamination system using super adhesive glue, flexural testing using the four-point loading test method, flexural behavior that is reviewed are flexural strength, elastic cross-section modulus, and beam ductility ratio. The results showed that the elastic cross-section modulus and the flexural stress of the laminated timber beams were lower than the solid timber beams with a ratio of 0.54, and the ductility ratio of the laminated wooden beams was 1.28 so that they were categorized in the limited ductility criteria. The test results indicate that the failure of glue-laminated timber beams is a failure of bending. The elastic modulus cross-section parameters of laminated timber beams are useful for the design of beam structure components in buildings, especially in the calculation of beam strength and beam stiffness as a serviceability requirement.

**Keywords:** Flexural rigidity, beam, laminated, glue, jabon

## PENDAHULUAN

Balok laminasi lem atau Glulam (*glue-laminated*) merupakan balok yang disusun dari dua atau lebih lamina kayu dan dirangkai secara vertikal, horisontal, atau kombinasi silang, sehingga didapatkan penampang yang lebih besar sesuai kebutuhan. Sistem laminasi bermanfaat untuk mengatasi permasalahan keterbatasan dimensi bahan kayu yang ada. Sistem perekatan dilakukan dengan menggunakan lem yang telah diuji kekuatan gesernya sehingga slip antar lamina kayu dapat direduksi seminimal mungkin.

Salah satu manfaat balok laminasi adalah dapat menghasilkan ukuran penampang yang lebih besar sesuai kebutuhan dari dua atau lebih lamina-lamina kayu, sebagai contoh balok kayu ukuran penampang 60 mm x 40 mm apabila disusun sebanyak empat lamina maka akan menghasilkan ukuran penampang 60 mm x 160 mm. Masing-masing lamina tersebut direkatkan menggunakan perekat/lem.

Tujuan penelitian ini adalah melakukan pengujian lentur balok kayu laminasi lem (*glulam*) untuk mendapatkan data empiris parameter modulus penampang elastik.

Parameter modulus penampang elastik diperlukan khususnya untuk perhitungan kekuatan lentur ( $F_b$ ) balok dengan penampang tidak solid, sebagai contoh balok laminasi. Kekuatan lentur merupakan salah satu parameter utama terkait analisis dan desain balok (komponen struktur lentur) pada bangunan gedung.

Perkembangan penelitian balok kayu laminasi lem (*glulam*) sudah sangat pesat. Dimulai dari penelitian untuk mempelajari perilaku lentur balok, penelitian terkait rigiditas balok, penelitian variasi jenis kayu, penelitian variasi sistem laminasi yang digunakan, penelitian terkait usulan metode-metode perkuatan untuk meningkatkan kinerja lentur, sampai dengan penelitian untuk mengetahui kinerja dan perilaku lentur akibat beban jangka panjang.

Penelitian sebelumnya terkait perilaku dan kekuatan lentur balok kayu laminasi telah dilakukan oleh Kamiya (1985), Bohnhoff et al. (1989), dan Gliniorz, Mosalam, dan Natterer (2002), dengan hasil secara umum kekuatan lentur lebih rendah dibandingkan balok kayu utuh.

Penelitian terkait perbandingan kekuatan lentur balok kayu utuh dan balok kayu laminasi lem telah dilakukan oleh Ezeagu et al. (2015) untuk kayu jenis daun jarum (*softwood*). Hasil penelitian memperlihatkan bahwa kekuatan lentur balok kayu

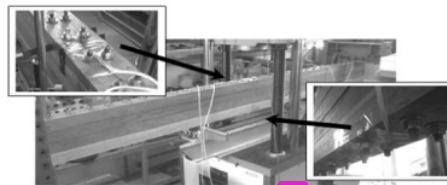
laminasi lem lebih rendah berkisar 37%-66% dibandingkan dengan kayu utuh. Dari segi manfaat, kayu laminasi lem memberikan manfaat dimensi dan ukuran penampang yang lebih besar.



**Gambar 1** Pengujian Balok Kayu Laminasi oleh (Ezeagu et al. 2015)

Penelitian kekuatan lentur balok laminasi lem dengan pendekatan analitis dan numerik telah dilakukan oleh Muhammed dan Arya (2015), balok menggunakan sistem laminasi horizontal dengan variasi ketebalan lamina yang berbeda-beda. Hasil penelitian memperlihatkan bahwa ketebalan lamina tidak berpengaruh signifikan terhadap kekuatan lentur balok laminasi.

Penelitian terkait rasio modulus penampang elastik balok kayu laminasi telah dilakukan sebelumnya oleh Pranata, Suryoatmono, dan Tjondro (2011; 2012) yaitu sistem laminasi mekanik menggunakan alat sambung baut. Penelitian dilakukan terhadap 6 (enam) jenis kayu Indonesia. Hasil penelitian secara umum memperlihatkan bahwa rasio modulus penampang elastik balok kayu laminasi-baut berkisar antara 0,38–0,91. Rasio modulus penampang elastik ( $S$ ) balok laminasi mekanik dapat mencapai kondisi rasio 0,91 terhadap balok utuh, hal ini dapat tercapai dengan spasi antar baut 100 mm, sehingga pada saat balok dibebani lentur, slip yang terjadi antar lamina baut berkurang, sehingga momen inersia penampang balok laminasi mendekati momen inersia penampang balok utuh.



**Gambar 2** Penelitian Terkait Modulus Penampang Elastik Balok Kayu Laminasi Mekanis (Pranata, Suryoatmono, dan Tjondro 2012)

Penelitian kekuatan lentur sistem laminasi-baut dengan orientasi arah laminasi vertikal juga telah dilakukan oleh Pranata dan Suryoatmono (2019). Tujuan orientasi sistem lamina pada arah vertikal adalah untuk mendapatkan dimensi lebar ( $b$ ) yang

lebih besar dan bermanfaat sebagai sistem struktur lantai (*slab*) bangunan bertingkat. Hasil penelitian membahas tentang kekuatan lentur sistem laminasi akibat beban gravitasi dan perilaku struktur lantai akibat beban getaran.

Penelitian balok laminasi lem (*glulam*) dengan kombinasi lebih dari satu jenis kayu telah dilakukan oleh (Chauf dan Dewi 2016) dengan hasil penelitian adalah diperoleh model struktur laminasi yang efisien dan kekuatan lentur yang optimal dengan tipe kegagalan yaitu getas.

Penelitian perilaku lentur balok laminasi lem akibat beban jangka panjang (*long-term behavior*) telah dipelajari oleh Massaro dan Malo (2019) untuk jenis kayu *Norway Spruce*. Penelitian dilakukan dengan pendekatan pengujian eksperimental dan analisis numerik.

**9**  
**METODE**

Metodologi yang digunakan dalam penelitian ini adalah dengan melakukan studi eksperimental di laboratorium. Secara umum tahapan penelitian terdiri dari 4 (empat) tahap, yaitu tahap pertama studi literatur terkait modulus elastisitas balok kayu, rigiditas lentur balok kayu, kayu laminasi lem, serta tata cara pengujian lentur kayu berdasarkan ASTM. Tahap kedua yaitu pembuatan benda uji balok kayu laminasi lem. Tahap ketiga adalah pengujian eksperimental di laboratorium. Tahap keempat adalah proses mengolah data kurva kapasitas lentur balok yaitu kurva hubungan beban versus peralihan menjadi parameter rigiditas lentur balok kayu laminasi, kekuatan lentur balok kayu laminasi, dan rasio daktilitas peralihan balok.

Ruang lingkup penelitian yaitu sebagai berikut:

1. Benda uji balok terbuat dari kayu Jabon (*Anthocephalus adamba Miq.*).
2. Jumlah lamina 4 (empat), dengan ukuran masing-masing lamina adalah 60 mm x 40 mm, sehingga membentuk ukuran penampang balok 60 mm x 160 mm.
3. Sistem laminasi menggunakan lem *super adhesive* yaitu jenis *Strong Epoxy*.
4. Metode perekatan adalah metode *press* pada sistem laminasi kayu dengan menggunakan dudukan pelat dan alat pengencang baut, teknik pengencangan baut menggunakan metode *snug tight* sesuai AISC 360-16 (AISC 2016).
5. Jumlah benda uji adalah 3 (tiga) buah benda uji balok. Panjang balok (jarak antar tumpuan) adalah 1500 mm.

6. Pengujian lentur mengacu pada standar ASTM D198 (ASTM 2015), dengan metode pengujian destruktif *four-point bending test*.
7. Perilaku lentur yang ditinjau adalah modulus penampang elastik, kekuatan lentur, dan rasio daktilitas balok.

**6**  
**Balok Kayu Laminasi Lem (Glulam)**

Glulam adalah susunan beberapa lapis kayu direkatkan satu sama lain menjadi satu kesatuan dengan mereduksi kemungkinan terjadinya diskontinuitas atau slip antar lamina. Sistem laminasi merupakan salah satu upaya menghasilkan desain penampang balok kayu yang ekonomis dan memenuhi prinsip struktural.

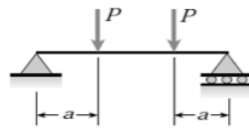
Perekat merupakan material dengan sifat dominan berupa kimiawi. Lamina-lamina kayu yang direkatkan oleh lem akan memungkinkan berdampak la perubahan sifat mekanis kayu, khususnya kekakuan dan kekuatan lentur. Apabila balok disusun dengan jumlah lamina yang semakin banyak, maka semakin besar pula luas bidang rekatatan, sehingga dampaknya berkaitan pula dengan tipe perekat terhadap kinerja kekakuan dan kekuatan.

**12**  
**formasi balok**

Modulus elastisitas adalah kemiringan proporsional garis linier dari kurva hubungan beban dan deformasi (dalam rentang beban elastik), dalam konteks ini adalah beban lentur pada balok dan deformasi adalah lendutan balok akibat adanya beban yang bekerja. Untuk kondisi balok sederhana dengan beban 2 (dua) buah terpusat pada masing-masing jarak sejauh a dari tumpuan masing-masing seperti ilustrasi pada Gambar 3, maka hubungan deformasi terhadap beban dinyatakan dalam Persamaan 1 (Goodno dan Gere 2018).

$$\delta = \frac{P \cdot a}{24EI} (3L^2 - 4a^2) \dots\dots\dots (1)$$

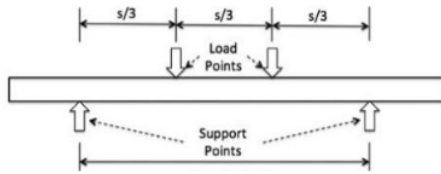
dengan  $\delta$  adalah deformasi, P adalah beban terpusat pada jarak a dari tumpuan, L adalah panjang bentang balok dari tumpuan-ke-tumpuan, E (atau MoE) adalah modulus elastisitas balok kayu (arah longitudinal), dan I adalah momen inersia penampang balok.



**Gambar 3** Balok Dengan Beban 2 Buah Beban P Pada Jarak Sebesar a Dari Masing-Masing Tumpuan (Goodno dan Gere 2018)

**Pengujian lentur kayu**

Benda uji lentur kayu untuk pengujian sifat mekanika lentur dapat dibuat berdasarkan acuan spesifikasi benda uji primer dan benda uji sekunder sesuai standar ASTM D143 (ASTM 2014). Metode pengujian lentur dapat mengacu sesuai metode pengujian *center-point loading test* ASTM D143 (ASTM 2014) atau metode pengujian *four-point loading test* ASTM D198 (ASTM 2015). Kecepatan pembebanan (*crosshead*) untuk keperluan uji lentur adalah adalah 2,5 mm/menit. Gambar 4 memperlihatkan skematik metode pengujian lentur dengan metode *four-point loading test*.



**Gambar 4** Metode Pengujian *Four-Point Loading Test* (ASTM 2015)

3 Kekuatan lentur adalah kekuatan batas proporsional yang dapat dicapai kayu ketika komponen kayu tersebut mengalami kegagalan akibat momen lentur, sedangkan pada kondisi kekuatan batas ultimit disebut *Modulus of Rupture* (*MoR*). Kekuatan lentur pada kondisi beban batas proporsional ( $f_B$ ) dapat dihitung dengan menggunakan dasar teori tegangan normal-lentur sesuai Persamaan 2.

$$f_B = \frac{M \cdot y}{I} \dots\dots\dots (2)$$

Parameter  $f_B$  adalah kekuatan lentur pada kondisi beban batas (titik batas) proporsional,  $M$  adalah momen lentur akibat beban yang bekerja, dan  $y$  adalah jarak dari titik berat penampang ke serat tepi terluar penampang balok.

Berdasarkan metode ASTM D143 (ASTM 2014), maka kriteria kegagalan lentur balok terdiri dari beberapa klasifikasi sesuai kondisi retak yang terjadi. Klasifikasi kegagalan balok salah satunya adalah *simple tension*, yaitu terjadi retak pada serat terluar bagian tarik kemudian retak menjalar pada arah sejajar serat.

**2 Modulus penampang elastik**

Modulus penampang elastik ( $S$ ) adalah momen inersia penampang balok ( $I$ ) dibagi dengan jarak dari titik berat penampang ke serat tepi terluar ( $y$ ) dalam rentang beban batas elastik.

$$S = \frac{I}{y} \dots\dots\dots (3.a)$$

$$S_{eff} = k_s \cdot S \dots\dots\dots (3.b)$$

Persamaan 2 selanjutnya dapat ditulis,

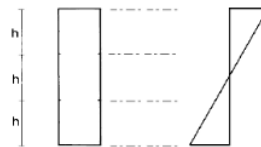
$$f_B = \frac{M}{S} \dots\dots\dots (4.a)$$

$$f_{B-lam} = \frac{M}{S_{eff}} \dots\dots\dots (4.b)$$

2  $S_{eff}$  adalah modulus penampang elastik balok laminasi dan  $k_s$  adalah rasio modulus penampang elastik balok laminasi terhadap balok utuh. Sedangkan  $f_{B-lam}$  adalah kekuatan lentur balok laminasi (Pranata, Suryoatmono, dan Tjondro 2012).



(a). Balok laminasi (Pranata, Suryoatmono, dan Tjondro 2012).



(b). Balok dengan penampang *solid*.

**Gambar 5** Skematik Ilustrasi Perilaku Lentur Balok Laminasi dan Balok Dengan Penampang Utuh.

Perilaku slip antar lamina terjadi karena kompatibilitas regangan antara lem dan lamina tidak bekerja sempurna sehingga perilaku lentur balok laminasi tidak seperti balok utuh, tetapi tetap terjadi interaksi par 24 antar lamina, ilustrasi selengkapnya ditampilkan pada Gambar 5.a (distribusi tegangan normal-lentur pada penampang balok laminasi) dan Gambar 5.b (distribusi tegangan normal-lentur pada penampang balok utuh).

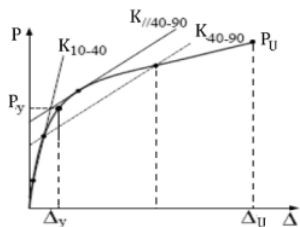
Persamaan 5 merupakan pengembangan dari Persamaan 1 khususnya untuk perhitungan deformasi balok kayu laminasi dengan beban yaitu  $P_{lam}$  maka besarnya rigiditas lentur balok laminasi sebesar  $k_{EI}$  lebih rendah dibandingkan rigiditas lentur balok berpenampang utuh (*solid*).  $k_{EI}$  dalam hal ini adalah rasio rigiditas lentur balok kayu laminasi-lem (*glulam*).

$$\delta = \frac{P_{lam} a}{24(k_{EI} \cdot E \cdot I)} (3L^2 - 4a^2) \dots\dots\dots (5)$$

**Metode penentuan titik batas proporsional dan titik batas ultimit**

Hasil pengujian eksperimental adalah berupa kurva hubungan beban versus deformasi, yaitu secara umum terdapat 2 kondisi pembebanan yang pertama kondisi rentang beban elastik dan 2 kondisi beban pasca-elastik. Hal ini memerlukan metode untuk menentukan titik batas (beban batas) proporsional. Berdasarkan hasil penelitian Muñoz et al. (2008) maka terdapat beberapa metode yang dapat digunakan untuk menentukan titik batas proporsional yaitu metode CEN, metode CSIRO, metode Karacabeyli dan Ceccotti, metode Yasumura dan Kawai, metode EEEP dan metode Offset 5%. Masing-masing metode diperuntukkan untuk tipe pengujian eksperimental properti mekanika kayu yang berbeda-beda.

Metode Yasumura dan Kawai banyak disarankan sebagai metode yang paling relevan untuk material kayu, prinsip dasar yaitu kekakuan inisial dihitung pada kondisi 10%, 40%, dan 90% titik batas (beban batas) ultimit (P<sub>U</sub>). Rentang kondisi elastik ditentukan dari pertemuan dua garis, yaitu garis pertama adalah garis linier yang menghubungkan antara garis yang terbentuk dari pertemuan titik 10%-P<sub>U</sub> dan 40%-P<sub>U</sub>, sedangkan garis kedua adalah yang terbentuk dari pertemuan titik 40%-P<sub>U</sub> dan 90%-P<sub>U</sub> yang telah digeser sejajar sampai berimpit pada kurva beban-deformasi hasil pengujian. Ilustrasi selengkapnya ditampilkan pada Gambar 6.



**Gambar 6** Ilustrasi Metode Yasumura dan Kawai (Muñoz et al. 2008)

**Kekuatan lentur dan keawetan kayu Jabon**

Dalam penelitian ini digunakan bahan material kayu Jabon (*Anthocephalus cadamba* Miq.). Kayu Jabon banyak ditemui di berbagai pulau di Indonesia. Berdasarkan Atlas K<sub>15</sub> Indonesia (Martawijaya et al. 2005), kayu Jabon termasuk dalam kategori kelas kuat III-IV dengan rentang berat jenis berkisar antara 290-560 kg/m<sup>3</sup>. Pada kondisi kering, kekuatan lentur (F<sub>b</sub>) kayu Jabon pada kondisi batas proporsional

adalah 37,96 MPa dan pada kondisi batas ultimit (*Modulus of Rupture* atau MoR) adalah 67,79 MPa. Modulus elastisitas (E atau MoE) kayu Jabon adalah 6670,80 MPa.

Dalam kaitannya dengan keawetan kayu sebagai komponen penyusun bangunan gedung, terutama terhadap serangan rayap, kayu Jabon termasuk dalam kategori kelas II, sedangkan daya tahan terhadap serangan jamur pelapuk kayu termasuk dalam kategori kelas IV-V. secara umum kayu Jabon termasuk dalam kategori keterawetan kelas sedang.

**Modulus Elastisitas Dinamik**

Metode pengujian tidak merusak (non-destruktif) khususnya untuk pengujian material kayu merupakan salah satu metode untuk mendapatkan data empiris parameter Modulus Elastisitas Dinamik (E<sub>dyn</sub>) yang dihitung berdasarkan hubungan dengan berat jenis kayu (ρ, satuan kg/m<sup>3</sup>) dan kecepatan gelombang (v, satuan m/detik), yaitu menggunakan Persamaan 6 (CBS-CBT 2011).

$$E_{dyn} = \rho V^2 10^{-6} \dots\dots\dots (6)$$

Hubungan antara Modulus Elastisitas Dinamik (E<sub>dyn</sub>) dan Modulus Elastisitas (E) telah dipelajari sebelumnya antara lain oleh Raymond et al. (2007), Benoit dan Sandoz (2011), Nowak, Hamrol-Bielecka, dan Jasieńko (2015), dan Poggi (2017). Raymond et al. (2007) dalam penelitiannya menyampaikan hubungan antara Modulus Elastisitas dengan Modulus Elastisitas Dinamik yang dinyatakan dalam Persamaan 7 sebagai berikut,

$$E = 0,899 E_{dyn} \quad ; R^2 = 0,93 \dots\dots\dots (7)$$

**3 HASIL DAN PEMBAHASAN**

Dalam penelitian ini, dilakukan pengujian balok kayu laminasi lem dengan bahan material kayu Jabon (*Anthocephalus cadamba* Miq.). Lamina kayu mempunyai ukuran penampang 60 mm x 40 mm, sistem laminasi yang digunakan adalah horisontal dengan jumlah lamina sebanyak 4 (empat) lamina, sehingga terbentuk balok dengan ukuran penampang 60 mm x 160 mm. Sistem laminasi menggunakan lem super adhesive jenis Strong Epoxy. Perilaku lentur yang ditinjau adalah rigiditas lentur, kekuatan lentur, dan rasio daktilitas balok. Proses pembuatan benda uji meliputi pemilahan kayu, pembuatan lamina kayu, dan pembuatan balok laminasi dengan lem.

Gambar 7 memperlihatkan proses pengukuran kadar air untuk mengetahui kadar air pada masing-masing lamina kayu. Seluruh benda uji disusun pada kondisi

kadar air berkisar 7,0 % s.d. 11,5 %. Hasil ini memperlihatkan bahwa kayu dalam kondisi kering mengacu pada peraturan kayu Indonesia SNI 7973:2013 (BSN 2013).



**Gambar 7** Proses Pengukuran Kadar Air Pada Lamina Kayu.

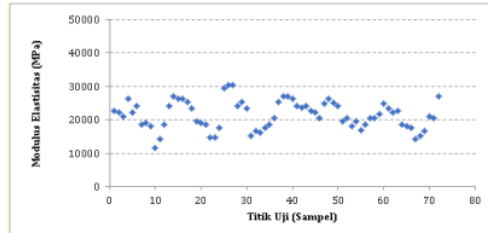
Gambar 8 memperlihatkan proses pemilahan kayu, yaitu pengujian sifat mekanika kayu Modulus Elastisitas masing-masing lamina kayu. Metode yang digunakan adalah uji non-destruktif (uji tidak merusak) dengan metode *direct measurement* dengan menggunakan alat uji Sylvatest TRIO (CBS-CBT 2011). Metode *direct measurement* merupakan salah satu metode pengukuran tidak merusak pada material kayu yang diperkenalkan oleh Benoit dan Sandoz (2011; CBS-CBT 2011) dengan alat ukur Sylvatest DUO yang dalam perkembangannya ditingkatkan kemampuannya dan mengalami perubahan nama alat ukur Sylvatest TRIO. Metode uji tidak merusak pada kayu Indonesia telah dilakukan sebelumnya oleh Pranata dan Tobing (2016) yaitu penelitian sifat mekanika kayu Rumah Tradisional Minangkabau, serta oleh Pranata dan Rusli (2019) yaitu penelitian sifat mekanika Rumah Tradisional Minahasa.

Dalam penelitian ini benda uji berjumlah 3 balok dan masing-masing balok terdiri dari 4 lamina kayu, sehingga jumlah kayu yang digunakan adalah 12 batang. Seluruh batang selanjutnya diuji dengan menggunakan pengujian non-destruktif, dengan masing-masing batang diuji pada 6 titik sampel. Total titik uji adalah 72 titik sampel.



**Gambar 8** Proses Pengujian Non-Destruktif untuk Mendapatkan Sifat Mekanika Modulus Elastisitas Dinamik.

Hasil pengujian non-destruktif selengkapnya ditampilkan pada Gambar 9. Perhitungan Modulus Elastisitas Dinamik dilakukan dengan menggunakan Persamaan 6 dengan berat jenis kayu Jabon yaitu  $425 \text{ kg/m}^3$ . Selanjutnya perhitungan Modulus Elastisitas dilakukan dengan menggunakan Persamaan 7.



**Gambar 9** Hasil pengujian Non-Destruktif: Modulus Elastisitas (E) dengan Satuan MPa.

Hasil pengujian memperlihatkan bahwa Modulus Elastisitas rata-rata lamina kayu adalah 21433,93 MPa dengan Deviasi Standar sebesar 4145,33 MPa dan Koefisien Variasi sebesar 19,34%. Nilai Koefisien Variasi yang diperoleh adalah kurang dari 25% (SNI 7973: 2013) sehingga secara umum seluruh batang kayu dapat digunakan sebagai lamina kayu. Data empiris modulus elastisitas yang diperoleh selanjutnya menjadi acuan bagi penyusunan lamina-lamina kayu pada balok laminasi.

Gambar 10 memperlihatkan proses pengujian salah satu benda uji balok kayu laminasi.



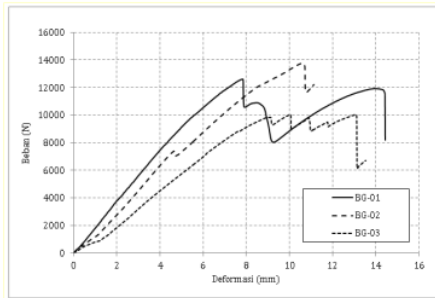
**Gambar 10** Proses Pengujian Balok Laminasi Benda Uji.

Metode pengujian adalah *four-point loading test* dengan jarak  $a$  sebesar 500 mm ( $1/3$  bentang balok). Selanjutnya Gambar 11 memperlihatkan ragam kegagalan balok yang terjadi pada benda uji yaitu *simple tension*, hal ini sesuai dengan salah satu model kegagalan benda uji lentur berdasarkan ASTM D143 (ASTM 2014), sehingga kegagalan yang diharapkan terjadi sesuai dengan hasil pengujian.



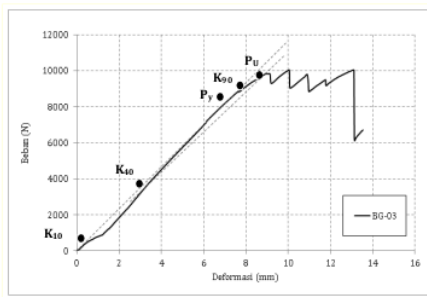
**Gambar 11** Ragam Kegagalan Balok yang Terjadi untuk Seluruh Benda Uji yaitu *Simple Tension*.

Gambar 12 memperlihatkan kurva diagram hubungan beban versus deformasi balok. Hasil pengujian seluruh benda uji memperlihatkan trend kurva yang hampir sama, deformasi maksimum berkisar antara 7,65 mm s.d. 10,54 mm, beban maksimum berkisar antara 9,98 kN s.d. 13,74 kN.



**Gambar 12** Kurva Diagram Hubungan Beban Versus Deformasi Balok.

Gambar 13 memperlihatkan contoh perhitungan titik batas proporsional (beban batas proporsional) dan titik batas ultimit (beban batas ultimit). Perhitungan titik batas proporsional ( $P_y$ ) menggunakan literatur Muñoz et al. (2008) dengan menggunakan Metode Yasumura dan Kawai.



**Gambar 13** Perhitungan Titik Batas Proporsional (Beban Batas Proporsional) dan Titik Batas Ultimit (Beban Batas Ultimit) pada Benda Uji BG-03.

Hasil perhitungan selengkapnya ditampilkan pada Tabel 1. Hasil Tabel 1 memperlihatkan bahwa rasio

daktilitas peralihan balok rata-rata adalah sebesar 1,28. Beban batas proporsional rata-rata adalah sebesar 10,43 kN, beban batas ultimit rata-rata adalah sebesar 12,07 kN.

**Tabel 1** Hasil Perhitungan Titik Batas (Beban Batas) Proporsional dan Ultimit, dan Rasio Daktilitas Balok.

Benda Uji	$P_y$ (kN)	$d_y$ (mm)	$P_u$ (kN)	$D_u$ (mm)	$\mu$
BG-01	10,51	5,97	12,49	7,65	1,28
BG-02	12,14	8,62	13,74	10,54	1,22
BG-03	8,66	7,44	9,98	9,93	1,33
rerata	10,43	7,34	12,07	9,37	1,28

Selanjutnya dengan menggunakan Persamaan 1, Persamaan 2 Persamaan 3, dan Persamaan 4 dilakukan perhitungan rasio rigiditas lentur balok laminasi. Hasil perhitungan selengkapnya ditampilkan pada Tabel 2.

**Tabel 2** Hasil Perhitungan Rasio Rigiditas Lentur Balok Laminasi.

Benda Uji	$M_y$ (kN.mm)	$f_{b-lam}$ (MPa)	$f_b$ (MPa)	$k_s$
BG-01	5250,71	20,51	37,96	0,54
BG-02	6067,72	23,70	37,96	0,62
BG-03	4329,69	16,91	37,96	0,45
rerata	5216,04	20,38	37,96	0,54

Perhitungan modulus penampang elastik dan tegangan lentur dilakukan dengan menggunakan Persamaan 3 dan Persamaan 4. Hasil Tabel 2 memperlihatkan bahwa kekuatan lentur balok kayu laminasi-lem rata-rata adalah 20,38 MPa, sedangkan kekuatan lentur balok utuh sesuai referensi Atlas Kayu Indonesia adalah sebesar 37,96 MPa. Maka diperoleh rasio modulus penampang elastik balok rata-rata adalah sebesar 0,54.

## KESIMPULAN

Kesimpulan yang diperoleh dari hasil penelitian adalah kekuatan lentur balok kayu laminasi lem lebih rendah dibandingkan balok kayu utuh, dalam penelitian ini diperoleh rasio modulus penampang elastik sebesar 0,54, rasio daktilitas balok kayu laminasi diperoleh sebesar 1,28.

Hasil pengujian mengindikasikan bahwa kegagalan balok kayu laminasi lem adalah berupa kegagalan lentur mengacu pada kriteria kegagalan lentur sesuai ASTM D143.



Parameter modulus penampang elastik (S) balok kayu laminasi berguna untuk desain komponen struktur balok pada bangunan khususnya pada perhitungan kekuatan balok dan kekakuan balok sebagai persyaratan *serviceability*. Dalam peraturan kayu Indonesia, parameter tersebut digunakan untuk perhitungan kekuatan lentur terkoreksi.

16

### UCAPAN TERIMA KASIH

Terima kasih penulis ucapkan pada Universitas Kristen Maranatha melalui Hibah Penelitian Internal sehingga penulis dapat mengadakan pengujian, dan melakukan kegiatan penelitian tanpa kendala. Penulis juga mengucapkan terima kasih kepada Fernando Salim, Christianto, Eki Romario, Diego Jundo Banjarahor, Muhammad Maruf, dan Stefanny Abigail sehingga proses pembuatan benda uji dan pengujian dapat berjalan dengan lancar di Laboratorium Struktur.

### DAFTAR PUSTAKA

- American Institute of Steel Construction. 2016. "Specification for Structural Steel Buildings, ANSI/AISC 360-16." USA.
- American Society for Testing and Materials. 2014. "ASTM D143-14 Standard Test Methods for Small Clear Specimens of Timber, ASTM International." West Conshohocken, PA.
- . 2015. "ASTM D198-15 Standard Test Methods of Static Tests of Lumber in Structural Sizes, ASTM International." West Conshohocken, PA.
- Badan Standardisasi Nasional. 2013. "Spesifikasi Desain untuk Konstruksi Kayu SNI 7973:2013." BSN.
- Benoit, Y, dan J L Sandoz. 2011. "New Wooden Poles Grading Using Non-Destructive Technology." In *21st International Conference on Electricity Distribution, Frankfurt*, 6–9.
- Bohnhoff, David R., Steven M. Cramer, Russell C. Moody, dan Calvin O. Cramer. 1989. "Modeling vertically mechanically laminated lumber." *Journal of Structural Engineering (United States)* 115 (10): 2661–79. [https://doi.org/10.1061/\(ASCE\)0733-9445\(1989\)115:10\(2661\)](https://doi.org/10.1061/(ASCE)0733-9445(1989)115:10(2661)).
- CBS-CBT. 2011. "Sylvatest TRIO User Manual." CBS-CBT.
- Chauf, Kusunandar Abdul, dan Sri Murni Dewi. 2016. "Structural Efficiency and Flexure Strength of Mix-Glulam Timber Beams are Composed of Sengon and Coconut Wood as Green Material Constructions." In *The 2nd International Multidisciplinary Conference*. Vol. 1. Jakarta: Universitas Muhammadiyah Jakarta. November 15th, 2016.
- Ezeagu, C A, A F Eromosele, H Okoro, U J Chukwujkwu, dan T B Emetomo. 2015. "Flexural Strength of solid and glue-laminated timber beams." *American Journal of Engineering Science and Technology Research* 3 (1): 1–14.
- Gliniorz, Kai Uwe, Khalid M. Mosalam, dan Julius Natterer. 2002. "Modeling of layered timber beams and ribbed shell frameworks." *Composites Part B:Engineering* 33 (5): 367–81. [https://doi.org/10.1016/S1359-8368\(02\)00020-3](https://doi.org/10.1016/S1359-8368(02)00020-3).
- Goodno, Barry J., dan James M. Gere. 2018. *Mechanics of Materials*. Eight. Boston: Cengage Learning.
- Kamiya, Fumio. 1985. "The Nonlinear Bending Behavior of Nailed Layered Components: Part I. Nailed Layered Beams." *Wood and Fiber Science* 17 (1): 117–31.
- Martawijaya, A, I Kartasujana, K Kadir, dan S P Among. 2005. "Atlas Kayu Indonesia Jilid I Cetakan ke Tiga (edisi revisi)." *Badan Penelitian dan Pengembangan Kehutanan*. Bogor: Departemen Kehutanan.
- Massaro, Francesco Mirko, dan Kjell Arne Malo. 2019. "Long-term behaviour of Norway spruce glulam loaded perpendicular to grain." *European Journal of Wood and Wood Products* 77 (5): 821–32. <https://doi.org/10.1007/s00107-019-01437-4>.
- Muhammed, C K Umaima, dan R Arya. 2015. "Analytical Study on Flexural Behaviour of Glued Laminated Timber." *International Journal of Innovative Research in Science, Engineering and Technology* 4 (4): 2485–93. <https://doi.org/10.15680/IJIRSET.2015.0404051>.
- Muñoz, Williams, Alexander Salenikovich, Mohammad Mohammad, dan Pierre Quenneville. 2008. "Determination of yield point and ductility of timber assemblies: In search for a harmonised approach." In *10th World Conference on Timber Engineering 2008*, 2:1064–71.
- Nowak, T, K Hamrol-Bielecka, dan J Jasieńko. 2015. "Experimental testing of glued laminated timber members using ultrasonic and stress wave techniques." In *Proc. of the International Conference on Structural Health Assessment of Timber Structures-SHATIS*, 15:523–33.
- Poggi, Francesco. 2017. "Bending Properties of Commercial Wood-based Panels by NDT Methods." Master Thesis in Forestry and Wood Technology: Linnaeus University.

- Pranata, Yosafat Aji, dan Heri Lumban Tobing. 2016. "Non-destructive Testing to Obtain the Dynamic Elastic Modulus of the Existing Minangkabau Wooden House." In *International Conference on Technology, Innovation, Society (ICTIS)*, 389–93. <https://doi.org/10.21063/ictis.2016.1060>.
- Pranata, Yosafat Aji, dan Muhammad Rusli. 2019. "Non-Destructive Testing of The Existing Timber Columns of Minahasa Traditional House." In *International Journal of Civil Engineering and Technology*, 10:313–22. IAEME Publication.
- Pranata, Yosafat Aji, dan Bambang Suryoatmono. 2019. *Systruktur Kayu: Analisis dan Desain dengan LRFD*. Bandung: Remaja Rosdakarya.
- Pranata, Yosafat Aji, Bambang Suryoatmono, dan Johannes Adhijoso Tjondro. 2011. "The Flexural Rigidity Ratio of Indonesian Timber Bolt-Laminated Beam." In *EACEF-International Conference of Civil Engineering*, 1:33. Yogyakarta: Universitas Atma Jaya Yogyakarta.
- . 2012. "Rasio Modulus Penampang Elastik Balok Kayu Laminasi-Baut." *Jurnal Teknik Sipil* 19 (3): 223. <https://doi.org/10.5614/jts.2012.19.3.4>.
- Raymond, Carolyn A., B. Joe, R. Evans, dan R. L. Dickson. 2007. "Relationship between timber grade, static and dynamic modulus of elasticity, and SilviScan properties for Pinus radiata in New South Wales." *New Zealand Journal of Forestry Science* 37 (2): 186–96.

ORIGINALITY REPORT

19%

SIMILARITY INDEX

18%

INTERNET SOURCES

7%

PUBLICATIONS

1%

STUDENT PAPERS

PRIMARY SOURCES

1	<a href="http://iopscience.iop.org">iopscience.iop.org</a> Internet Source	5%
2	<a href="http://journals.itb.ac.id">journals.itb.ac.id</a> Internet Source	5%
3	<a href="http://pts.univetbantara.ac.id">pts.univetbantara.ac.id</a> Internet Source	2%
4	<a href="http://lontar.ui.ac.id">lontar.ui.ac.id</a> Internet Source	1%
5	<a href="http://vdocument.in">vdocument.in</a> Internet Source	1%
6	<a href="http://www.scribd.com">www.scribd.com</a> Internet Source	1%
7	Y A Pranata, A Kristianto, A Darmawan. "Elastic Cross-Section Modulus Ratio of Jabon (Anthocephalus cadamba Miq.) Bolt- Laminated Timber Beams", IOP Conference Series: Materials Science and Engineering, 2021 Publication	1%

8	<a href="http://jabonmulyasejahtera.blogspot.com">jabonmulyasejahtera.blogspot.com</a> Internet Source	<1 %
9	N. Retno Setiati, Hanna Abdul Halim. "Pemanfaatan Semen Portland Slag Untuk Meningkatkan Sifat Mekanik dan Durabilitas Beton", Jurnal Permukiman, 2018 Publication	<1 %
10	<a href="http://ejournal3.undip.ac.id">ejournal3.undip.ac.id</a> Internet Source	<1 %
11	Submitted to Sekolah Cikal Jakarta Student Paper	<1 %
12	<a href="http://jurnal.ipb.ac.id">jurnal.ipb.ac.id</a> Internet Source	<1 %
13	<a href="http://pdffox.com">pdffox.com</a> Internet Source	<1 %
14	<a href="http://doaj.org">doaj.org</a> Internet Source	<1 %
15	<a href="http://docobook.com">docobook.com</a> Internet Source	<1 %
16	<a href="http://jurnal.univrab.ac.id">jurnal.univrab.ac.id</a> Internet Source	<1 %
17	"Transdisciplinary Multispectral Modeling and Cooperation for the Preservation of Cultural Heritage", Springer Nature, 2019 Publication	<1 %

18	<a href="http://id.123dok.com">id.123dok.com</a> Internet Source	<1 %
19	<a href="http://journal.itny.ac.id">journal.itny.ac.id</a> Internet Source	<1 %
20	<a href="http://text-id.123dok.com">text-id.123dok.com</a> Internet Source	<1 %
21	Coenraad Hartsuijker, J. W. Welleman. "Engineering Mechanics", Springer Science and Business Media LLC, 2007 Publication	<1 %
22	<a href="http://repository.ub.ac.id">repository.ub.ac.id</a> Internet Source	<1 %
23	"Seismic Isolation, Energy Dissipation and Active Vibration Control of Structures", Springer Science and Business Media LLC, 2023 Publication	<1 %
24	<a href="http://idoc.pub">idoc.pub</a> Internet Source	<1 %
25	<a href="http://jurnal.untan.ac.id">jurnal.untan.ac.id</a> Internet Source	<1 %

Exclude quotes Off

Exclude matches Off

Exclude bibliography On